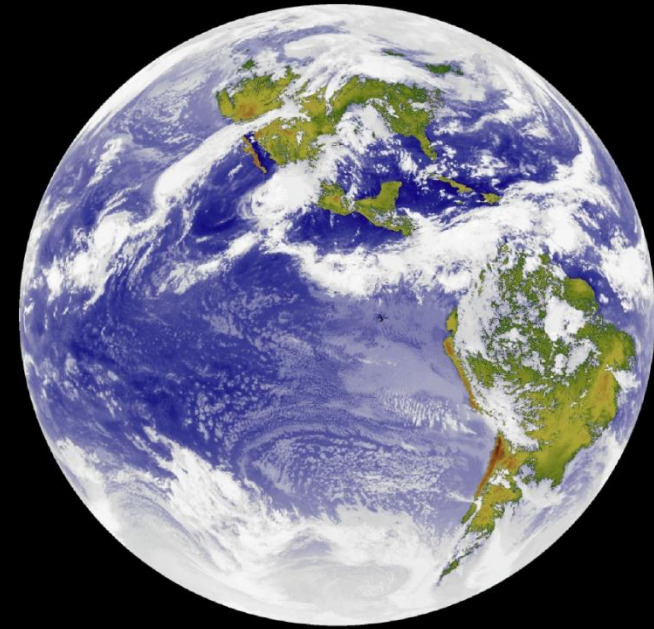


IAG - USP

G E O



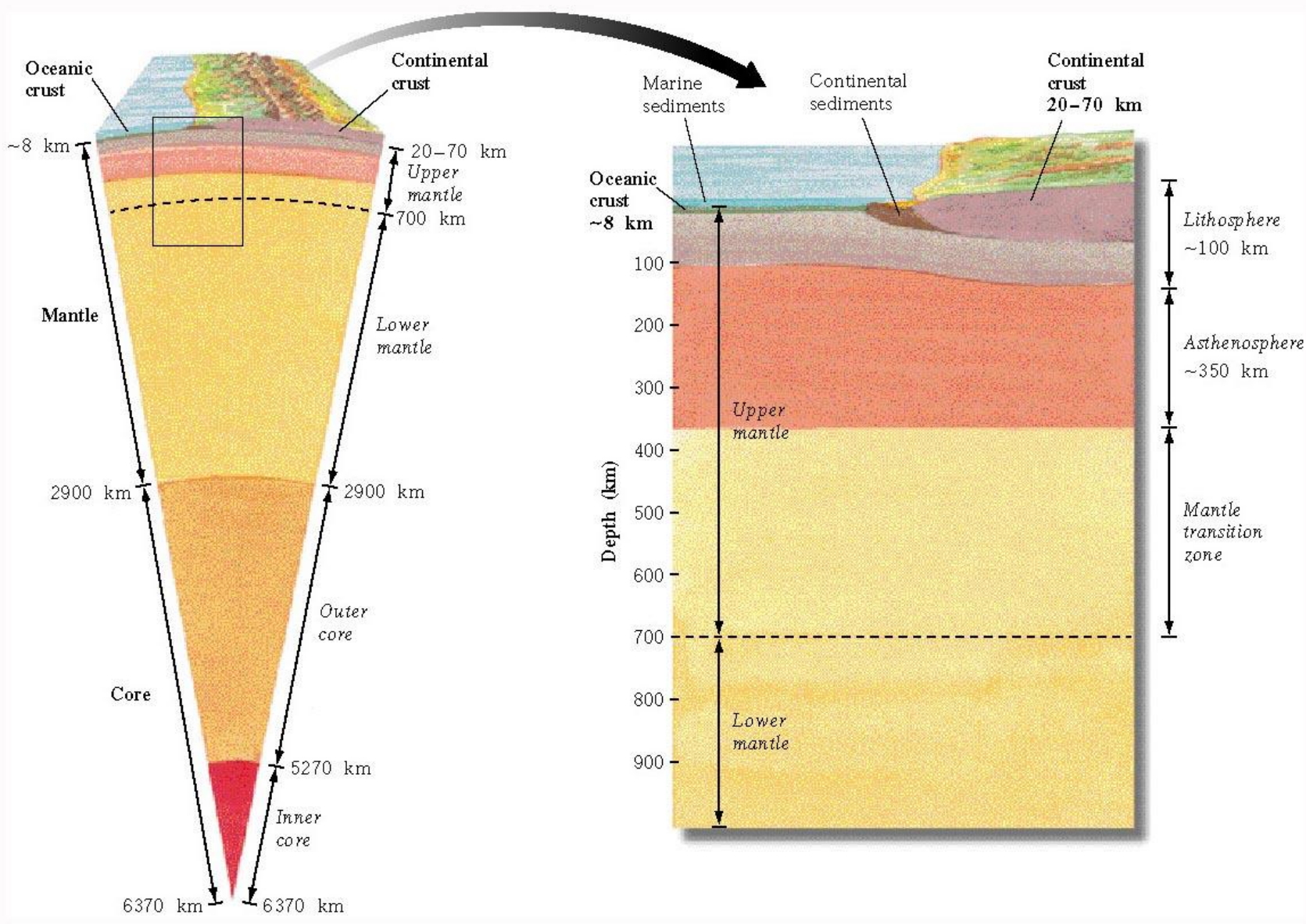
F Í S I C A



SISMOLOGIA

Estrutura da terra

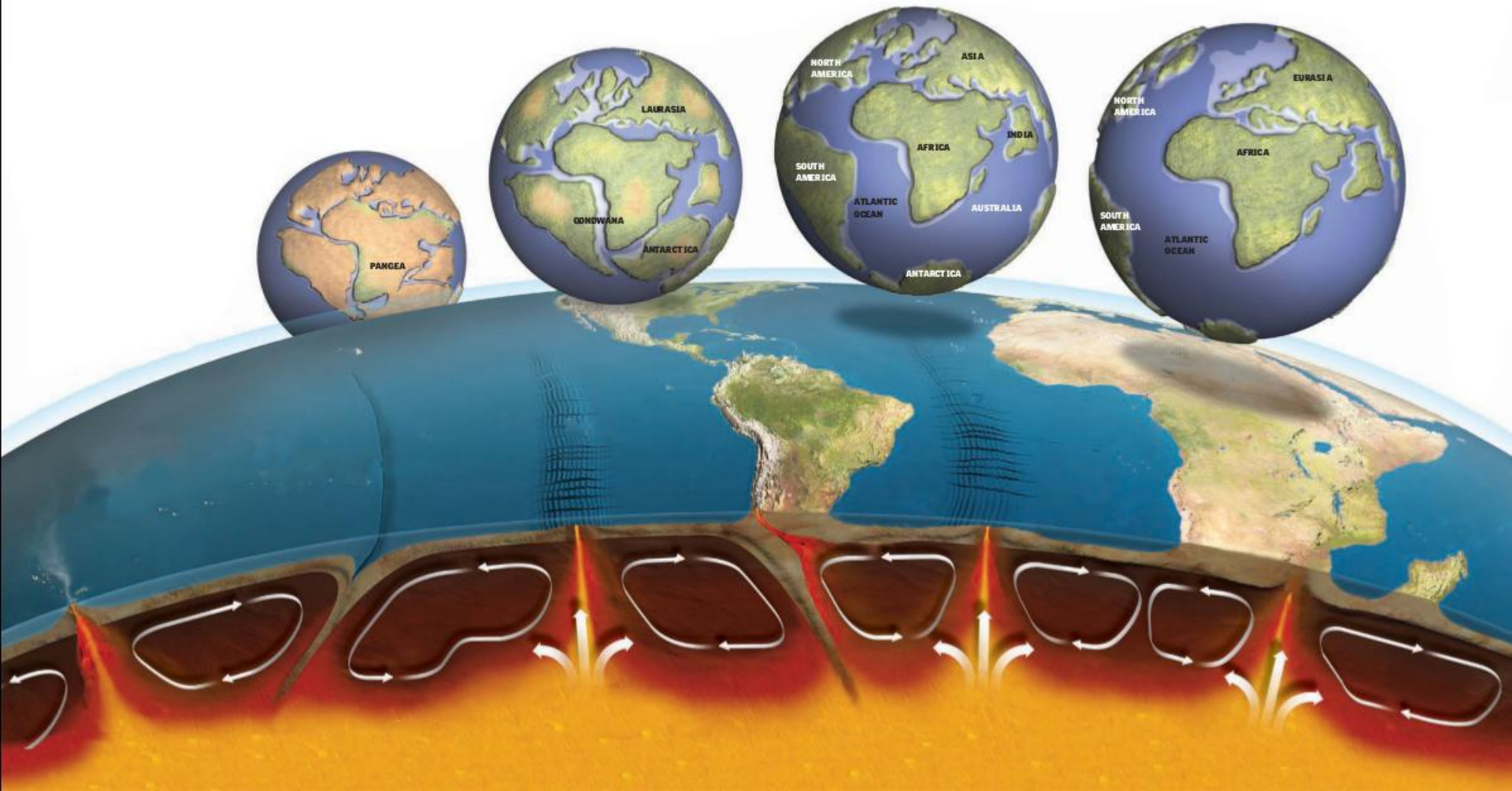


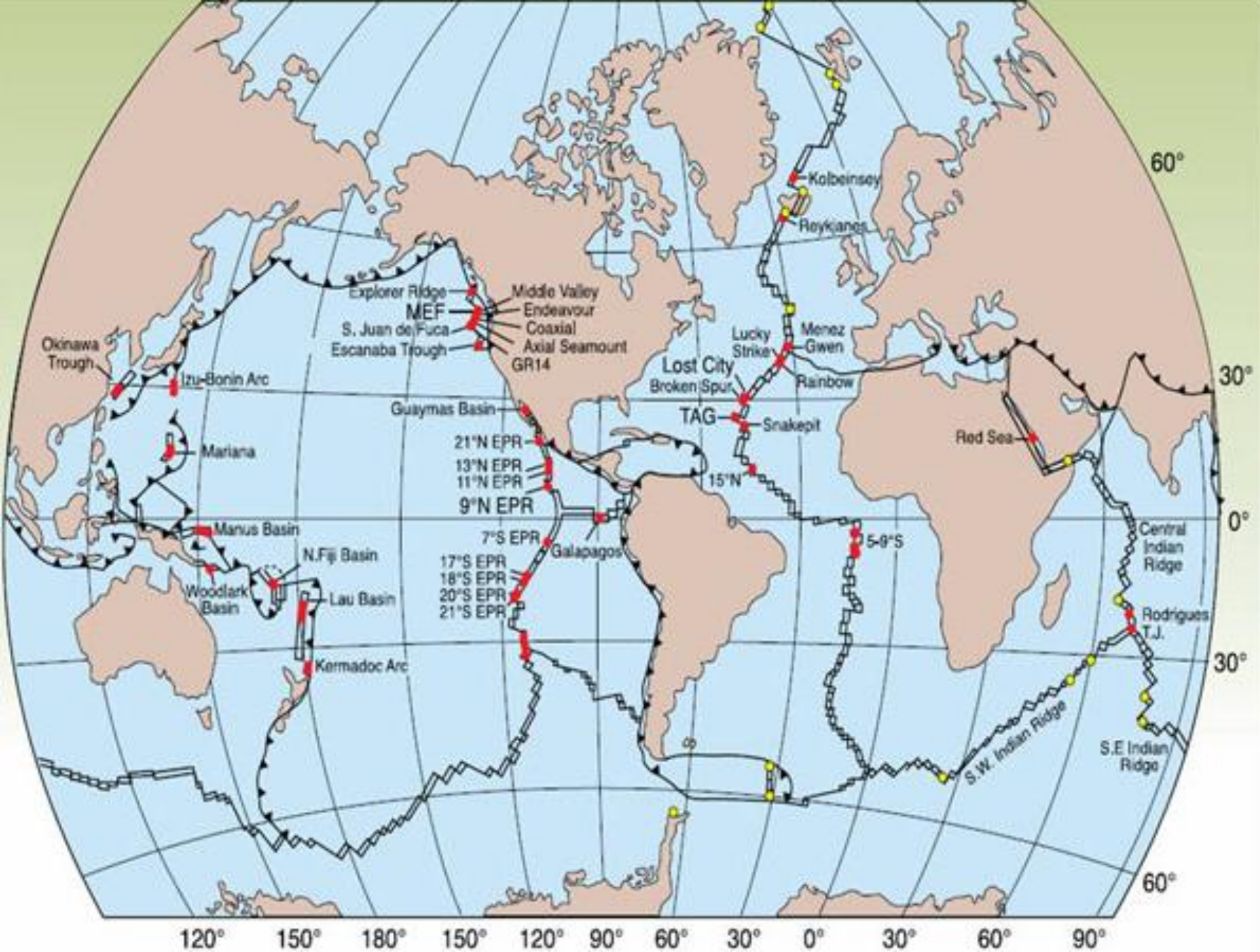


Datos Geofísicos

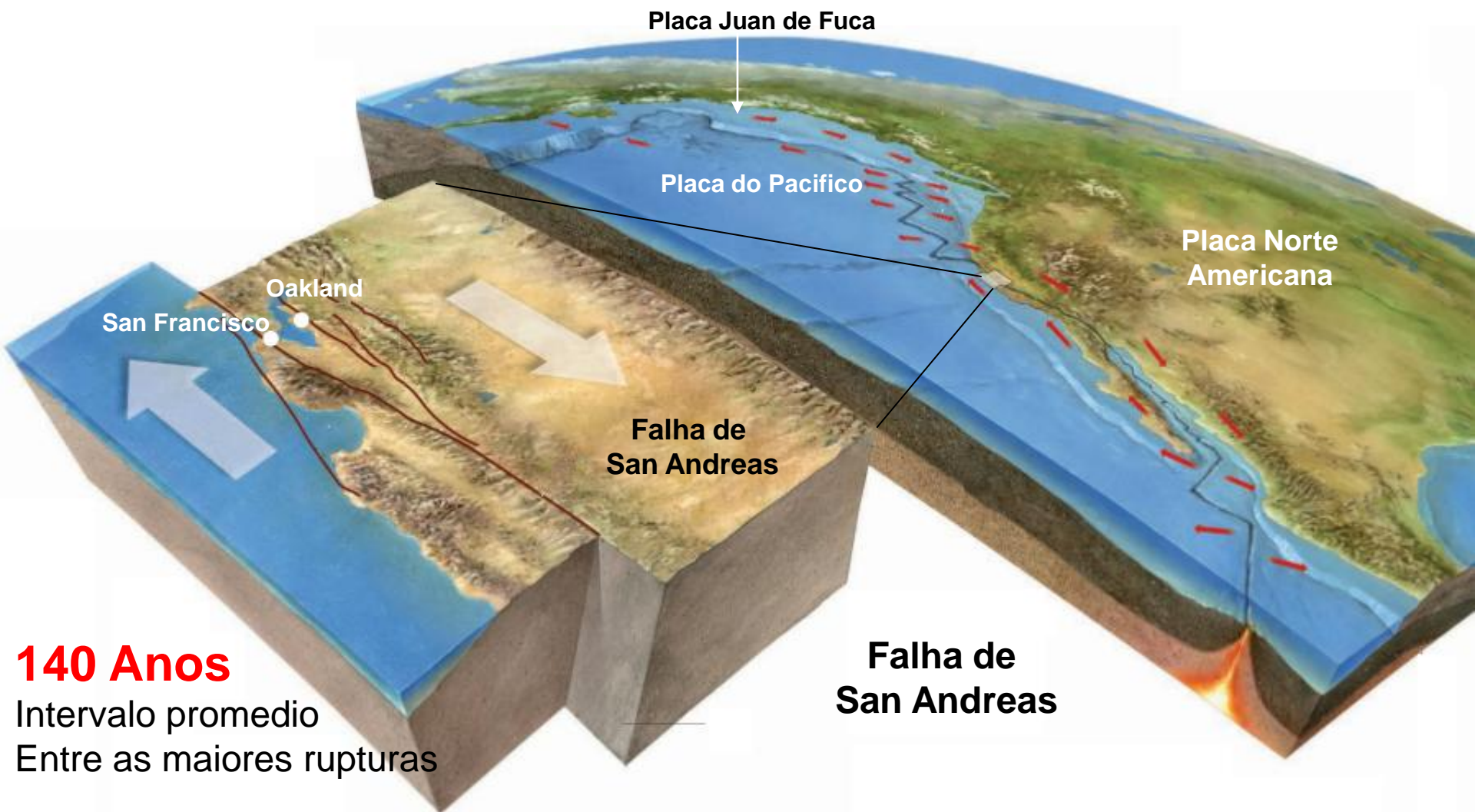


A Teoria da Tectônica de Placas





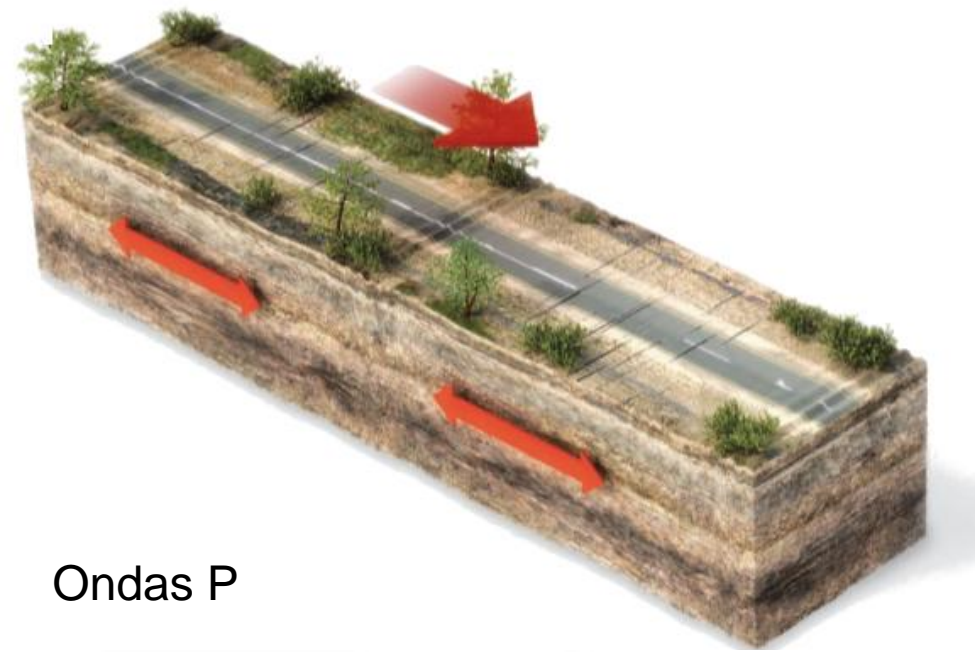
Terremotos e sismos



140 Anos

Intervalo promedio
Entre as maiores rupturas

Tipos de Ondas



Ondas P



Ondas Rayleigh



Ondas S



Ondas Love

Tipos de Falhas



Falha Normal

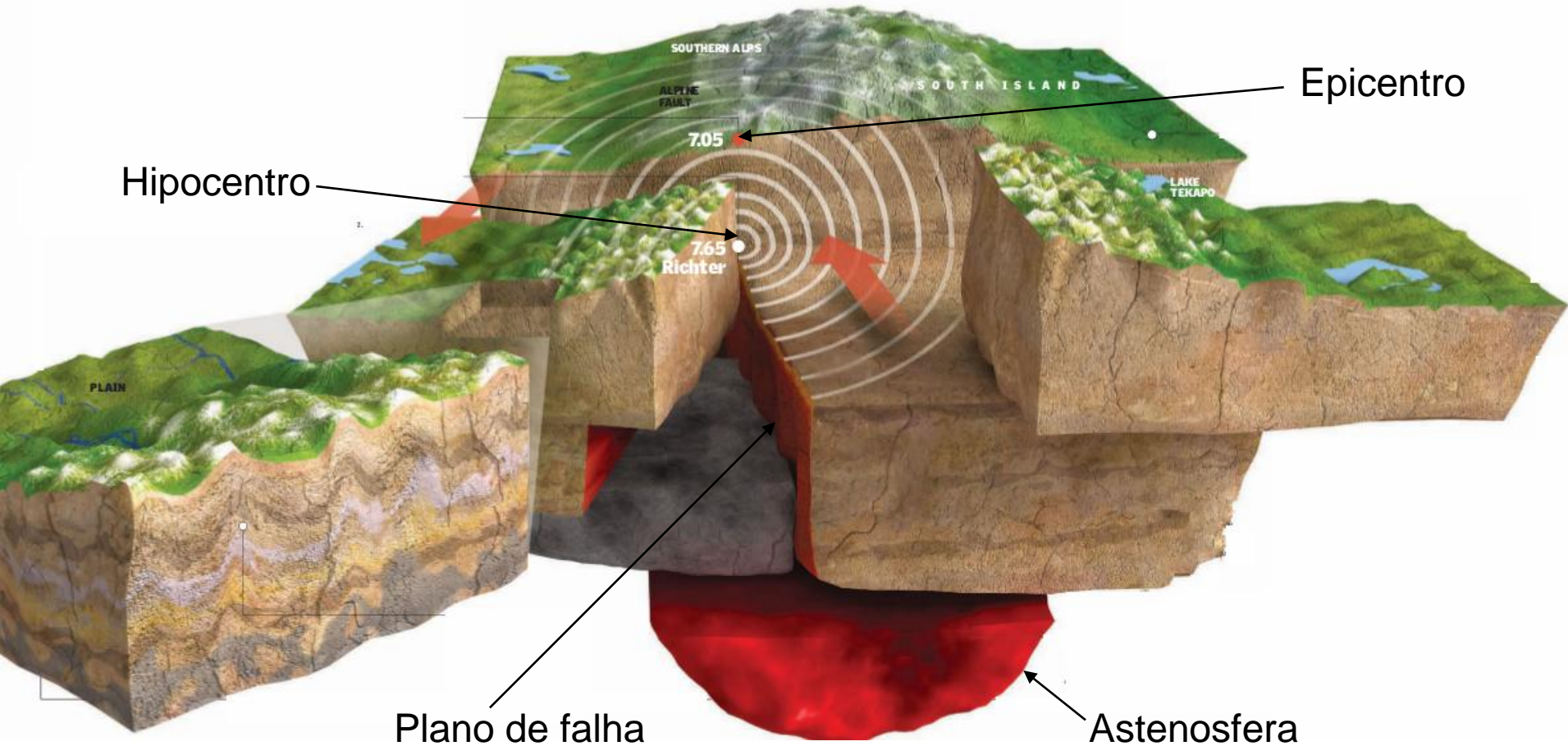


Falha Obliqua

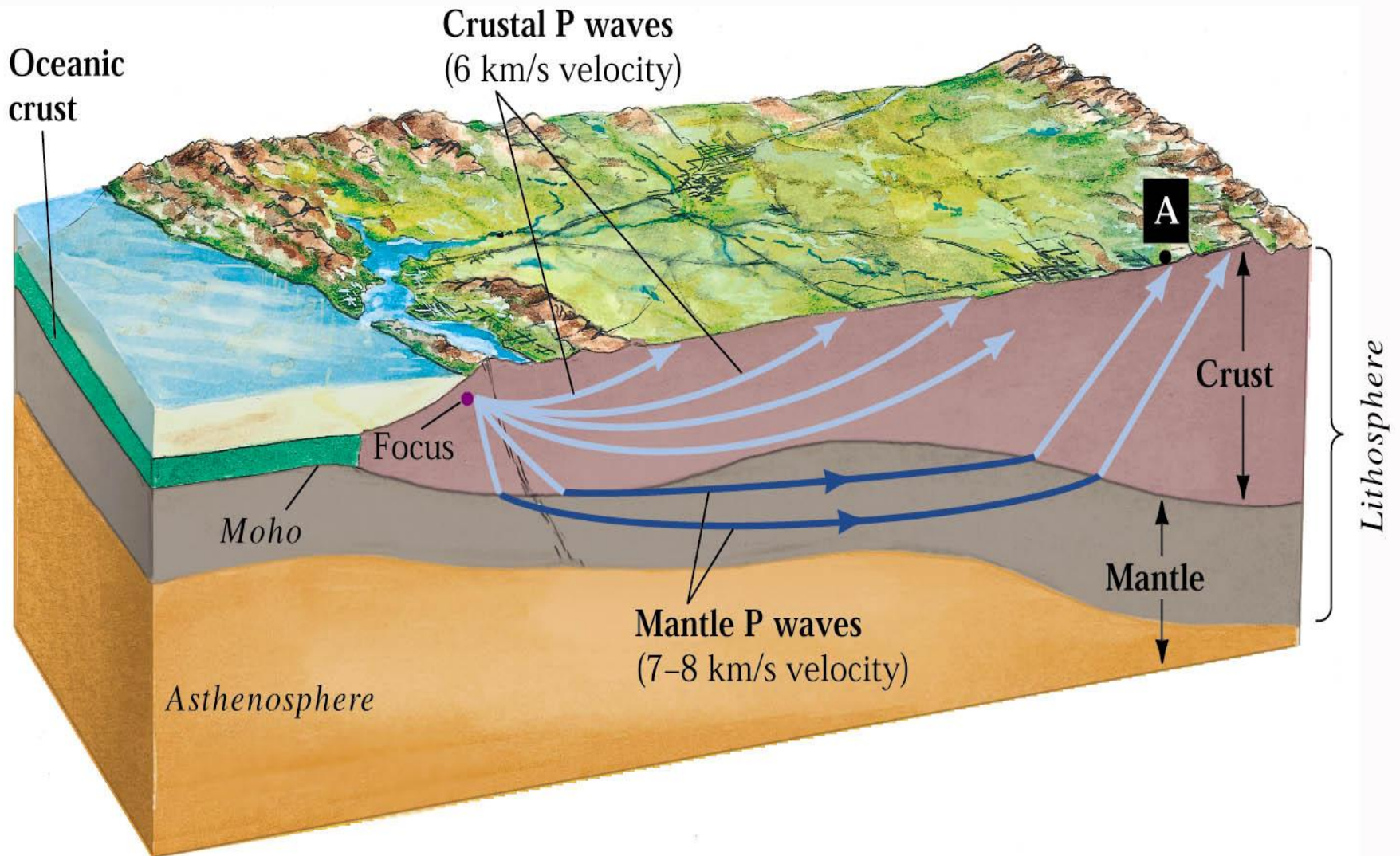


Falha Inversa

Anatomia de um sismo

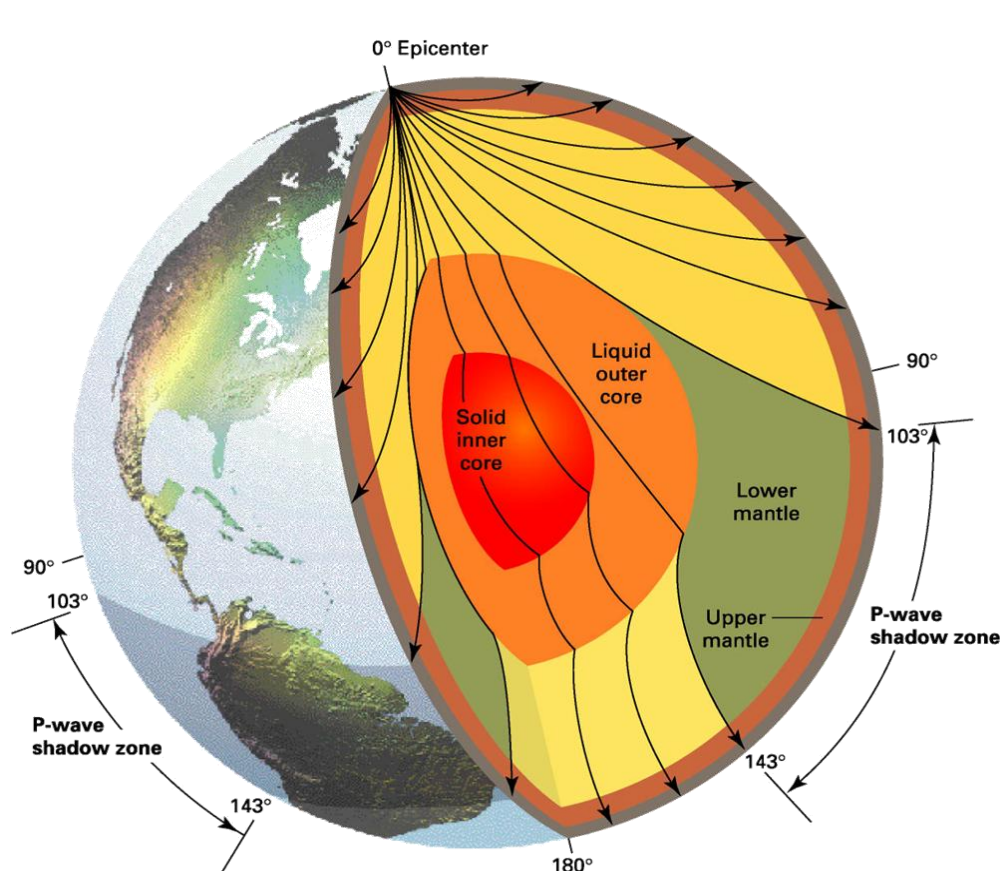


Propagação de Ondas Sísmicas

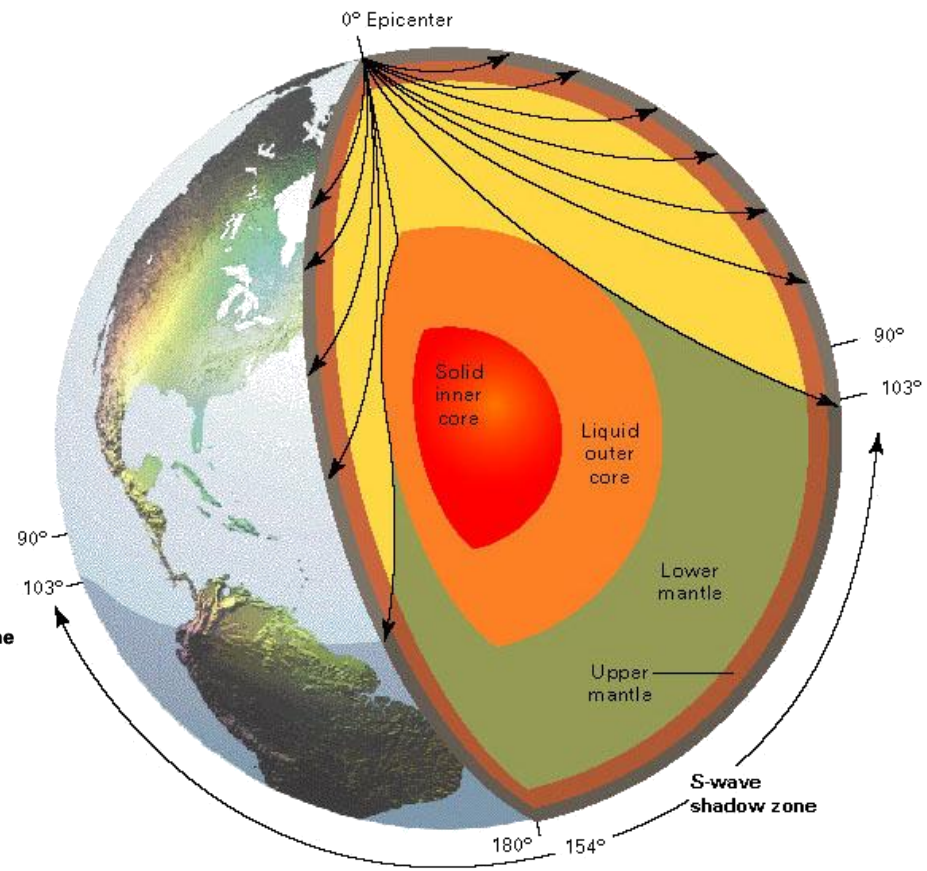


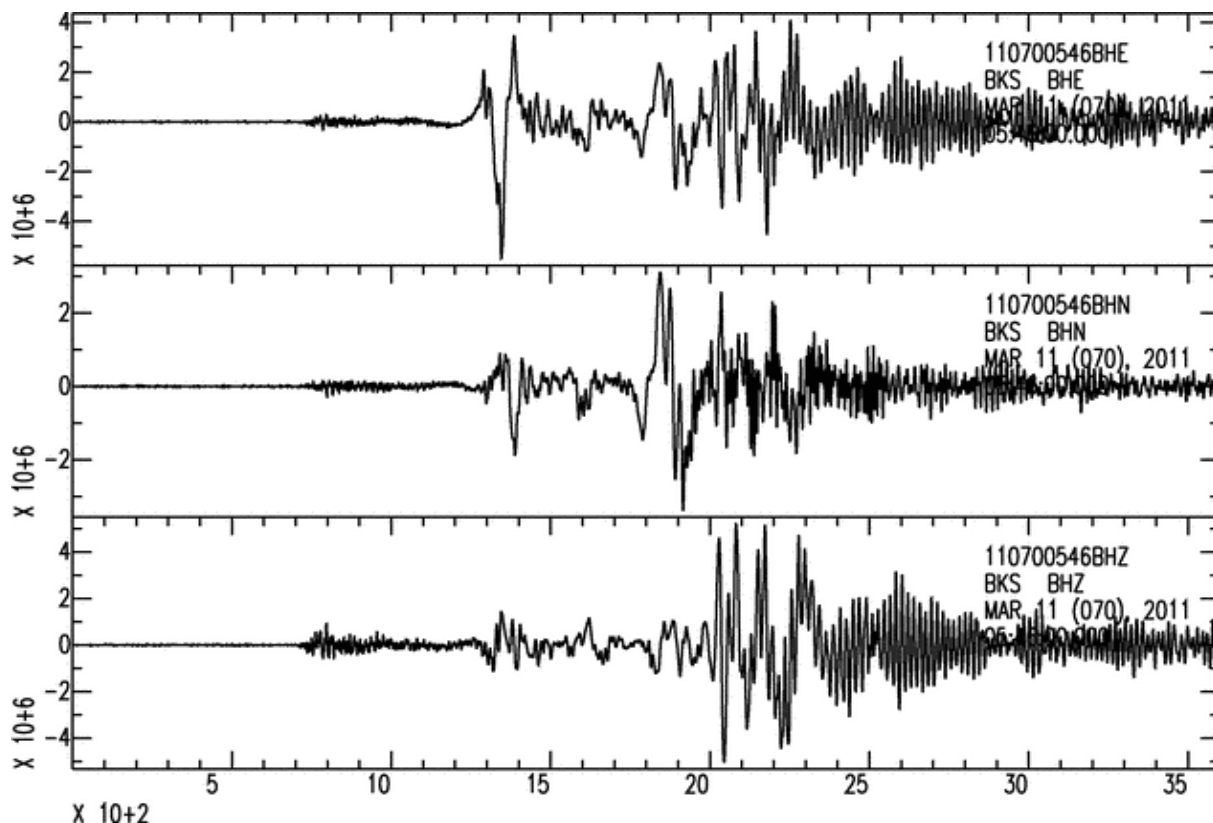
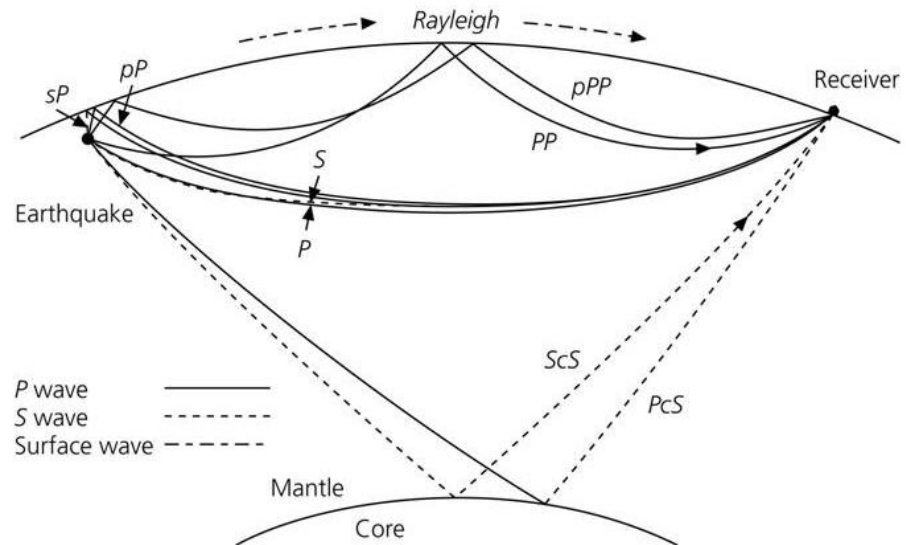
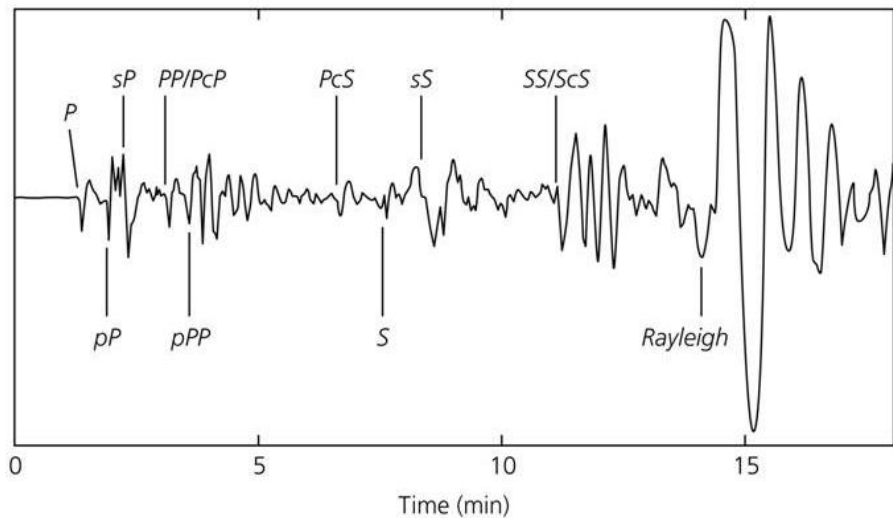
Propagação de Ondas Sísmicas

Ondas P

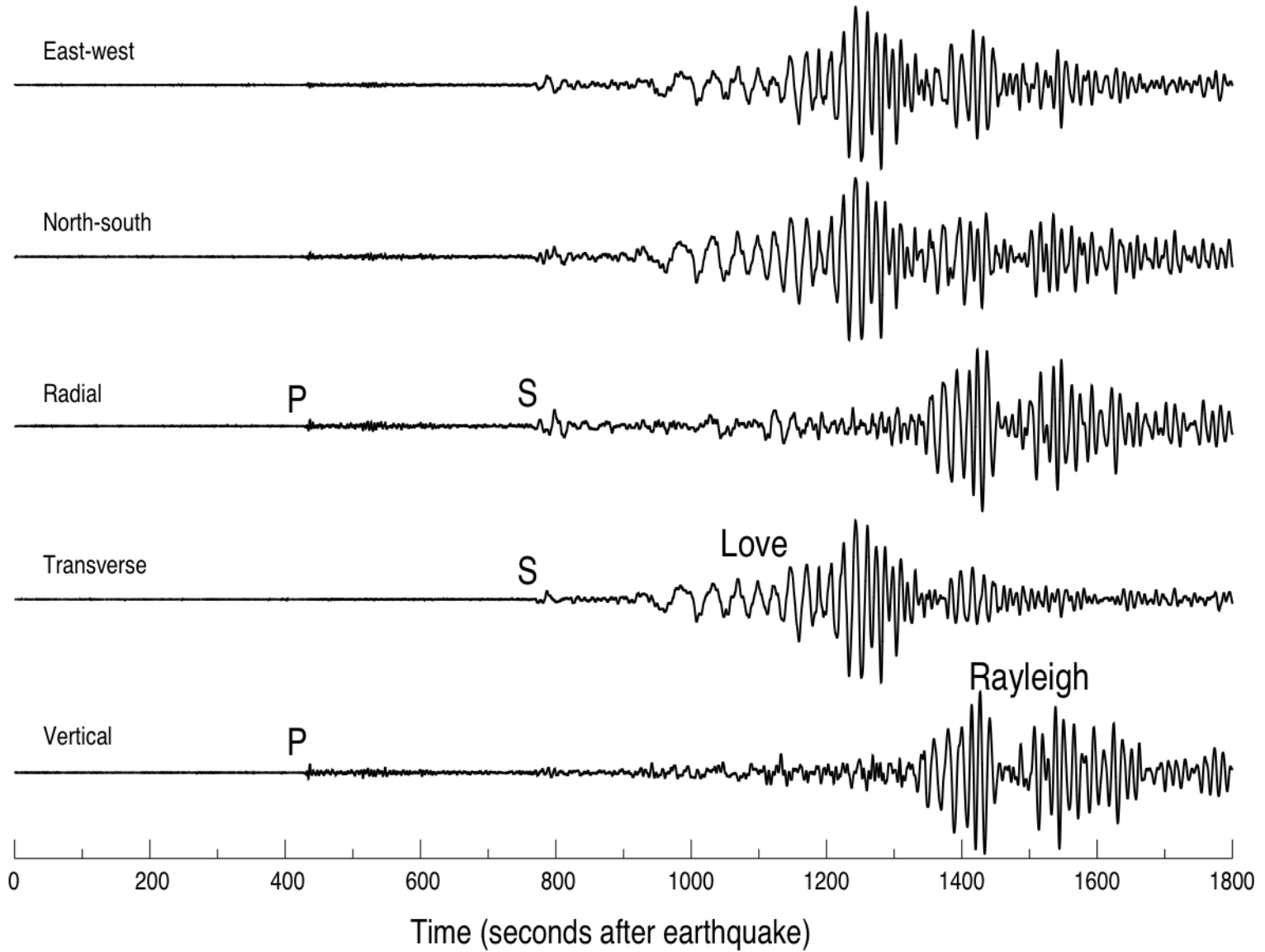


Ondas S



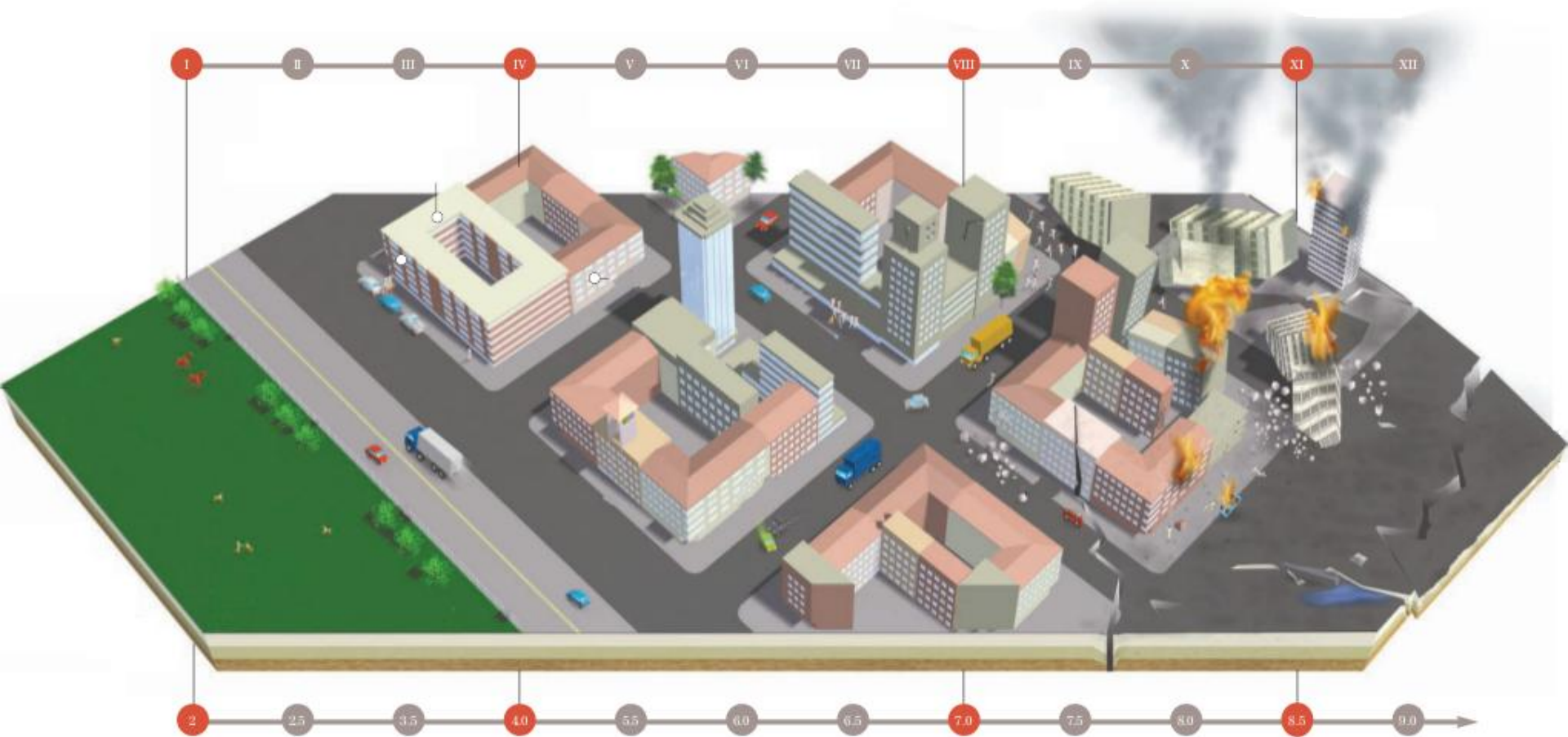


Haiti, Tuesday, January 12, 2010 at 21:53:09 UTC
Recorded at Lac du Bonnet, Manitoba



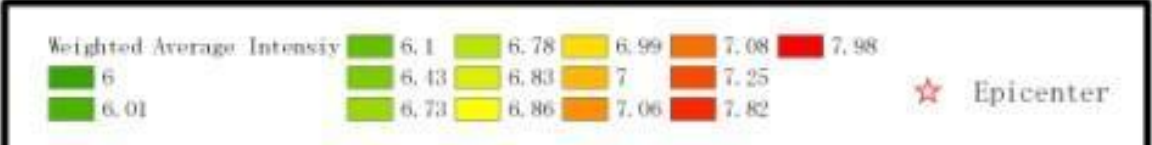
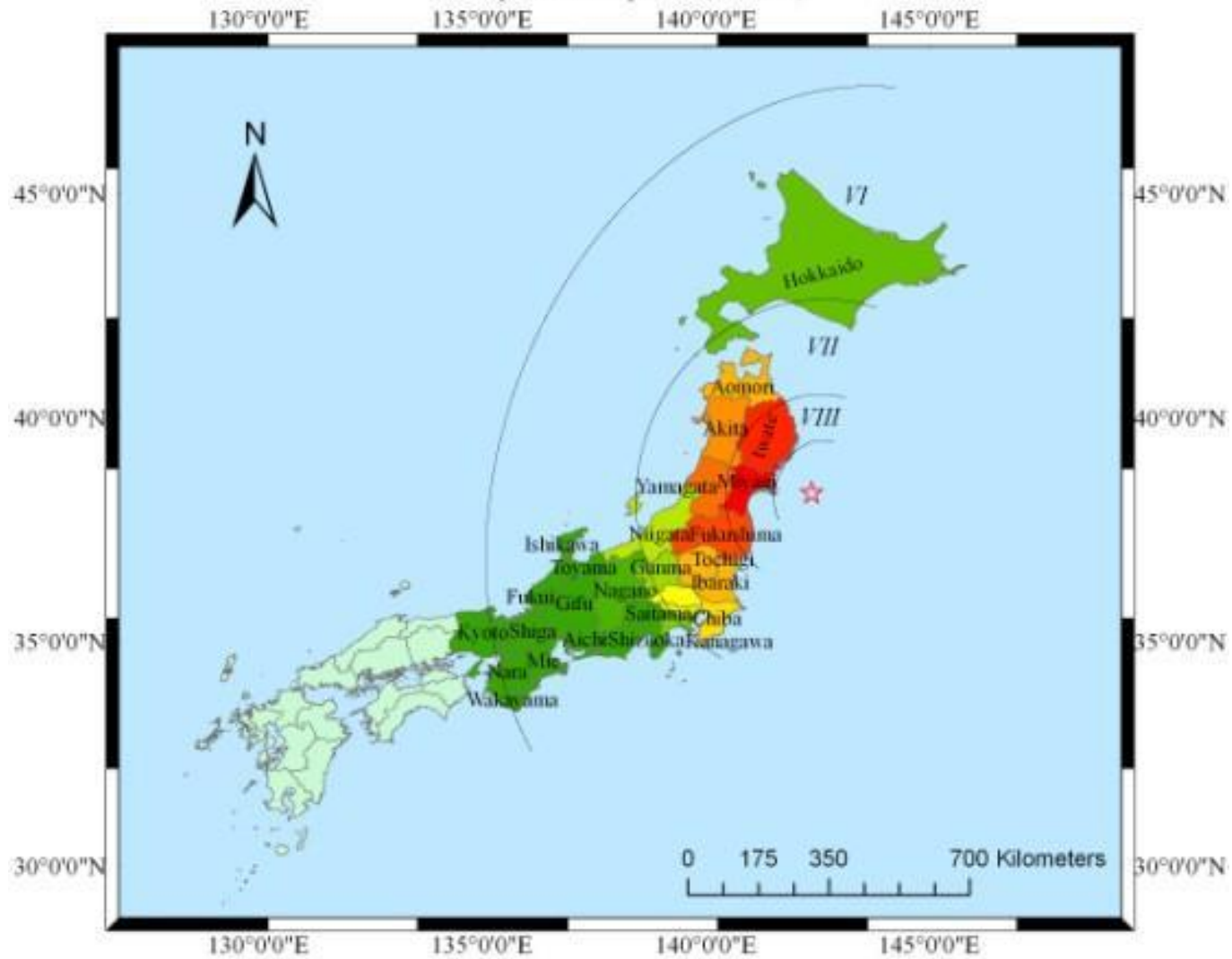
Intensidade e Magnitude

Intensidade



Magnitude

The Weighted Average Seismic Intensity Map of Affected Prefectures on Japan Earthquake (MS9.0)



Academy of Disaster Reduction and Emergency Management,
Beijing Normal University, P.R.China. 2011.3.17

Frequencia dos Eventos

Magnitude	Número por ano	Energía Liberada (j/yr, aprox.)
>8	1	1,000
7 - 7.9	12	100
6 - 6.9	110	30
5 - 5.9	1400	5
4 - 4.9	13,500	1
3 - 3.9	>130,000	0.2
2 - 2.9	> 1,300,000	< 0.05

Stein & Wyssession, 2003



IAG-USP 2010 & Future BRASIS Project:

- 55 BB permanent real-time stations to be installed by four institutions



-Study Brazilian seismicity, locating all magnitudes 3+

-Studies of crust and upper mantle structure.

Stations

